



Министерство науки и высшего образования Российской
Федерации

Федеральное государственное бюджетное образовательное
учреждение высшего образования

«Московский государственный технический университет
имени Н.Э. Баумана»

(национальный исследовательский университет)» (МГТУ им. Н.Э. Баумана)

Факультет «Робототехника и комплексная автоматизация»

Кафедра «Системы автоматизированного проектирования»

ОТЧЕТ О НАУЧНО-ИССЛЕДОВАТЕЛЬСКОЙ РАБОТЕ

ПО ТЕМЕ: «Разработка драйвера к системе стереозрения с использованием
OpenCV, PCL и ROS»

Выполнил студент: Новокшанов Евгений Андреевич

фамилия, имя, отчество

Группа: РК6-46Б

Проверил: Козов А.В.

фамилия, имя, отчество

Оценка Дата

Москва, 2021

СОДЕРЖАНИЕ

| | |
|--|----|
| ВВЕДЕНИЕ..... | 3 |
| 1 Математическое описание метода формирования облака точек | 4 |
| 2 Практическая реализация | 7 |
| 2.1 Обзор библиотеки | 7 |
| 2.2 Алгоритм формирования облака точек..... | 8 |
| Оценка полученных результатов | 11 |
| ЗАКЛЮЧЕНИЕ | 15 |
| СПИСОК ИСПОЛЬЗОВАННЫХ ИСТОЧНИКОВ | 16 |
| ТЕКСТ ПРОГРАММЫ | 16 |

ВВЕДЕНИЕ

Задача формирования цифровой модели видимого объекта актуальна как в специализированных областях науки и техники, так и в повседневной жизни. Одним из направлений машинного зрения является стереозрение. Оно позволяет получить представление о глубине изображения и расстоянии до объектов, составить трехмерную картину окружающего мира.

На данный момент существует множество приборов для измерения и формирования 3D-изображения местности, однако стереозрение дает возможность обойтись без использования датчиков измерения расстояния: инфракрасных датчиков, звуковых локаторов или лазерных радаров. Это позволяет снизить стоимость технического решения.

Одним из примеров использования стереопары является проект NASA 2006 года под названием STEREO: два одинаковых космических аппарата наблюдают за Солнцем из двух разных точек, чтобы получать трехмерные изображения структур и явлений на Солнце

Обеспечение синхронности и точности работы стереокамер для обеспечения роботов зрительной информацией является основной проблемой, которым посвящена данная работа. Для этого необходимо подобрать параметры для камер, чтобы сохранить реальные объекты в цифровом виде: облако точек и карта смещений (карты глубины).

Цель: построение облака точек в ROS по данным карты смещения.

Задачи:

- разработка математического аппарата для создание трехмерной картины местности по существующей карте глубины;
- знакомство с библиотекой PCL и системой ROS;
- преобразование карты глубины в облако точек в системе ROS;
- подбор параметров для данной стереокамеры;
- уменьшение времени между обновлениями облака точек (усовершенствование работы в режиме «реального времени»).

1 Математическое описание метода формирования облака точек

На рисунке 1 показаны этапы формирования облака точек.

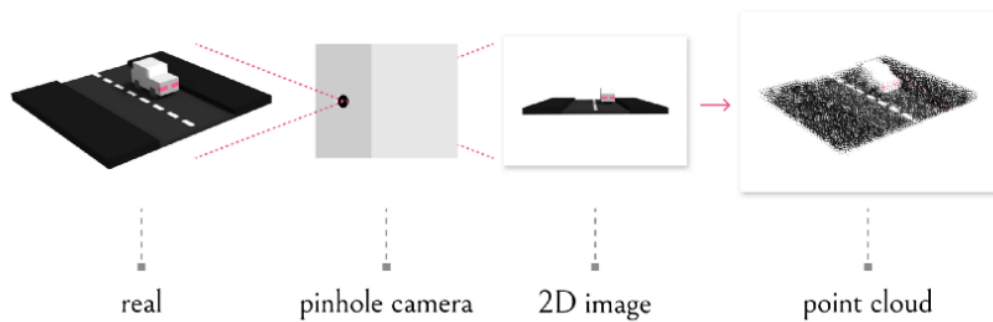


Рисунок 1 – Все этапы: от формирования карты смещений до формирования облака точек

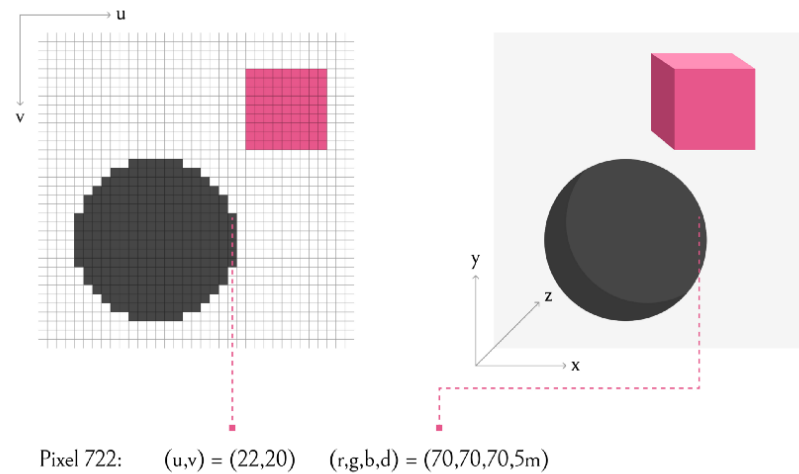


Рисунок 2 – Вводим оси u и v в карте смещений

Из подобных треугольников представленных на рисунке 2 выводим положение x из u и d каждого пикселя, что мы можем увидеть на 3-м рисунке. Для y и v аналогично. Для модели камеры-обскуры фокусное расстояние одинаково в направлениях x и y .

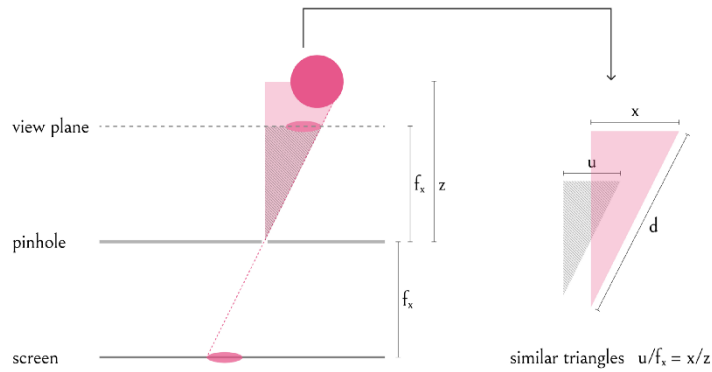


Рисунок 3 – Рассматриваем подобные треугольники

Из подобных треугольников получаем:

$$x = \frac{uz}{f_x}$$

Обычно f_x и f_y идентичны.

Введем внутреннюю матрицу: единая матрица, которая включает в себя свойства камеры: фокусное расстояние и центр датчика камеры, и перекося.

$$\mathbf{K} = \begin{bmatrix} f_x & S & c_x \\ 0 & f_y & c_y \\ 0 & 0 & 1 \end{bmatrix}$$

Далее введем однородные координаты. Однородные координаты помогут нам записать преобразования (перемещения, повороты и наклоны) в виде матриц одинаковой размерности.

$$\begin{bmatrix} u \\ v \\ 1 \end{bmatrix} \sim \begin{bmatrix} 2u \\ 2v \\ 2 \end{bmatrix}$$

Теперь мы можем делать любые операции над однородными координатами. Все операции определены таким образом, что последний компонент остается неизменным.

Матрица вращения R , вектор переноса t и внутренняя матрица K составляют матрицу проекции камеры. Он определен для преобразования декартовых координат в координаты экрана:

$$\begin{bmatrix} u \\ v \\ 1 \end{bmatrix} = \frac{1}{z} \underbrace{K}_{3 \times 3} \underbrace{[R | t]}_{3 \times 4} \begin{bmatrix} x \\ y \\ z \\ 1 \end{bmatrix}$$

$[R | t]$: мы объединяем R и вектор-столбец $t = \text{transpose}(t_0, t_1, t_2)$.

Мы не можем инвертировать матрицу 3×4 . Матрицы 4×4 называются внутренними/внешними матрицами полного ранга. Поэтому дополняем матрицы до полного ранга, что мы можем увидеть далее.

$$\begin{bmatrix} u \\ v \\ 1 \\ 1/z \end{bmatrix} = \frac{1}{z} \underbrace{\begin{bmatrix} K & 0 \\ 0 & 1 \end{bmatrix}}_{4 \times 4} \underbrace{\begin{bmatrix} R & t \\ 0 & 1 \end{bmatrix}}_{4 \times 4} \begin{bmatrix} x \\ y \\ z \\ 1 \end{bmatrix}$$

Проверим сказанное выше на простейшем случае: начало отсчета камеры и начало мира выровнены, т.е. R и t можно пренебречь, перекося S равен 0, а датчик изображения отцентрован. Теперь обратная матрица камеры выглядит просто:

$$\begin{bmatrix} x \\ y \\ z \\ 1 \end{bmatrix} = z \underbrace{\begin{bmatrix} 1/f_x & 0 & 0 & 0 \\ 0 & 1/f_y & 0 & 0 \\ 0 & 0 & 1 & 0 \\ 0 & 0 & 0 & 1 \end{bmatrix}}_{\text{inverse with } c_x, c_y, S=0} \begin{bmatrix} u \\ v \\ 1 \\ 1/z \end{bmatrix}$$

Для стереопары с разными фокусами камер и другими погрешностями используем матрицу камеры такого вида:

$$\begin{bmatrix} 1/f_x & -S/(f_x f_y) & (S c_y - c_x f_y)/(f_x f_y) \\ 0 & 1/f_y & -c_y/f_y \\ 0 & 0 & 1 \end{bmatrix}$$

Рассмотренные математические методы позволяют восстановить реальные объекты в цифровом виде, т.е. в виде облака точек.

2 Практическая реализация

2.1 Обзор библиотеки

Для программной реализации алгоритма была выбрана библиотека OpenCV, PCL и ROS.

OpenCV – библиотека алгоритмов компьютерного зрения, обработки изображений и численных алгоритмов общего назначения с открытым кодом. Реализована на C/C++, также разрабатывается для Python, Java, Ruby, Matlab, Lua и других языков.

-Imgproc, features2d – обработка изображений (фильтрация, геометрические преобразования, преобразование цветовых пространств, сегментация, обнаружение особых точек и ребер, контурный анализ и др);

Рассматриваемая библиотека обладает широким набором инструментов для решения поставленной задачи и обработки изображений в целом. Например, модуль calib3d включает в себя методы (calibrateCamera, stereoRectify и др.) получения необходимых параметров для выравнивания пары изображений, а базовые функции библиотеки позволят подготовить стереопару к обработке. Помимо прочего, класс FileStorage обеспечивает удобную работу с XML / YAML / JSON файлами, что облегчает передачу данных между программами.

PCL (Библиотека облаков точек) – библиотека для работы с облаком точек, которая содержит множество современных алгоритмов, включая фильтрацию, оценку признаков, реконструкцию поверхности, регистрацию, подбор модели и сегментацию.

```
int savePCDFile () // Сохраните данные облака точек в файл PCD,
содержащий точки nD.
```

```
pcl :: PCLPointCloud2 // Исходный формат данных облака точек
```

```
pcl_conversions::toPCL(*input, *cloud) //Конвертируем в формат данных
облака точек в PCL
```

Процесс фильтрации

```
pcl :: VoxelGrid <pcl :: PCLPointCloud2> sor; // Создание экземпляра  
фильтрации
```

```
sor.setInputCloud (cloudPtr); // Устанавливаем входной фильтр
```

```
sor.setLeafSize (0.1, 0.1, 0.1); // Устанавливаем размер сетки вокселей
```

```
sor.filter (cloud_filtered); // сохраняем отфильтрованное облако точек
```

ROS (Robot Operating System) – это экосистема для программирования роботов, предоставляющая функциональность для распределённой работы.

Конвертация формата данных отфильтрованного облака точек в формат данных в ROS и публикация его

```
sensor_msgs :: PointCloud2 – Заявленный формат облака точек вывода
```

```
pcl_conversions :: fromPCL () – конвертация: Первый параметр –  
входной, второй – выходной
```

2.2 Алгоритм формирования облака точек

Задачу формирования облака точек целесообразно разбить на несколько этапов:

- 1) подготовка стереоустановки;
- 2) получение карты смещений;
- 3) перевод координат точек карты смещений в декартовые координаты облака точек;
- 4) настройка параметров камеры для получения облака точек близкого к реальной геометрии объекта.

Разберем каждый этап отдельно.

1. Этап подготовки стереоустановки представлен на блок-схеме (рисунок 8). Для успешного выполнения триангуляции нам необходима выровненная и измеренная стереоустановка (требуется провести калибровку и ректификацию), на этом этапе необходимо сформировать файл с ее параметрами для дальнейшего изменения изображений.

2. Получение карты смещений происходит в несколько этапов.

- Первым делом строим изображение с исправлением искажения камер.
- Далее программа строит изображение, где в каждом пикселе записывается расстояние, вычисленное исходя из разницы пикселей на изображениях, полученных с камер стереопары.
- На последнем этапе происходит настройка камеры с помощью программы `calibration.cpp`.

3. Перевод координат точек карты смещений в декартовые координаты облака точек происходит по алгоритму описанном в разделе «Математического описания»: мы для каждого пикселя(элемента матрицы) карты смещений рассчитываем декартовые координаты в системе отсчета облака точек. Сложность алгоритма $O(n*m)$, где n и m – высота и ширина изображения карты смещений.

4. Исходя из полученных результатов прошлого пункта проводится подбор параметров для получения облака точек наиболее приближенного к реальному объекту сканирования.

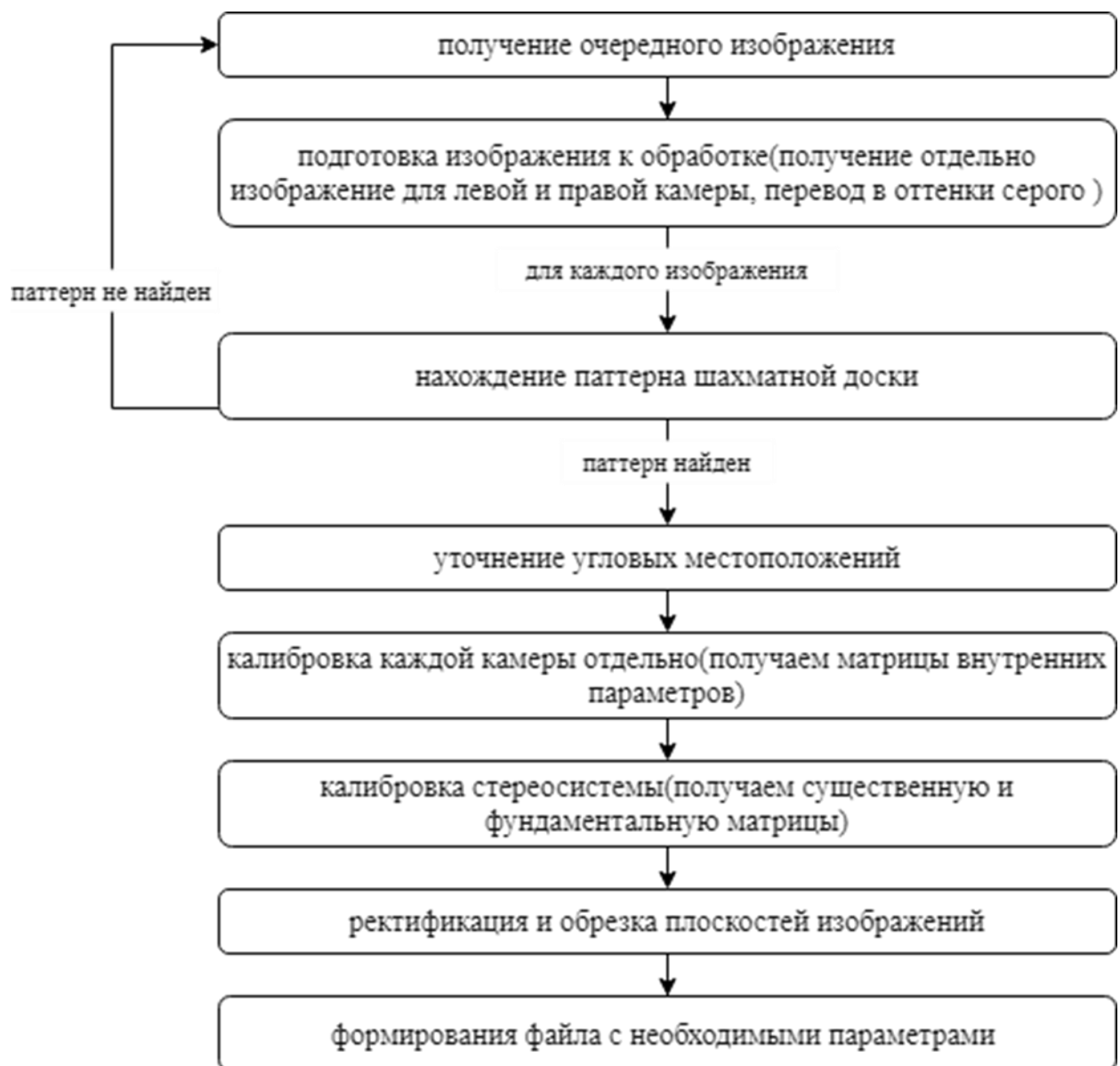


Рисунок 4- блок-схема «Подготовки стереоустановки»

3 Оценка полученных результатов

Настройка стереокамеры и получение карты глубины

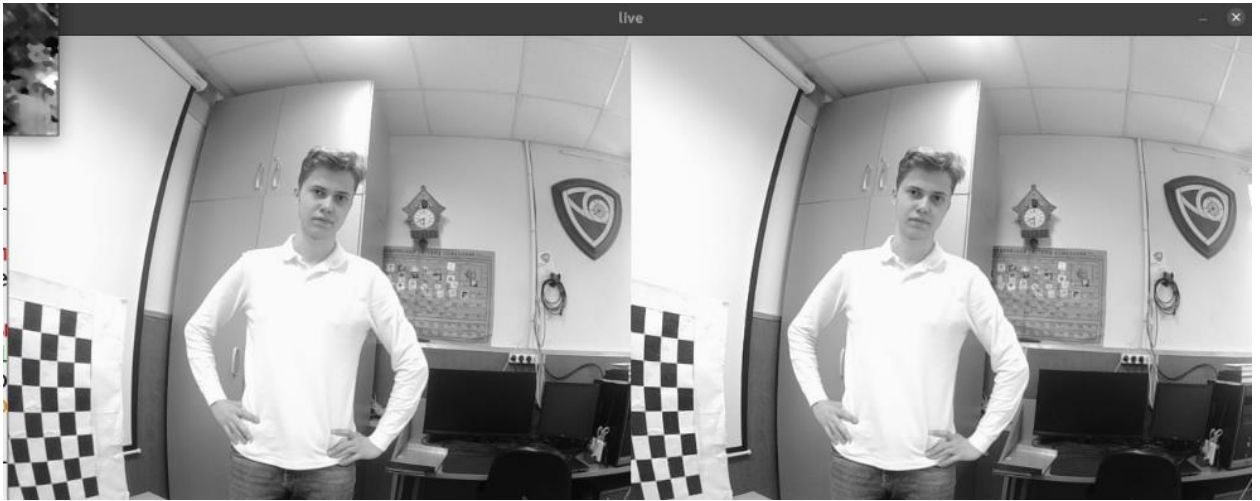


Рисунок 5 – Входное изображение



Рисунок 6 – Полученная карта смещений

Использование `pcl_viewer` для просмотра результата (облака точек)

Библиотека PCL предоставляет инструмент `pcl_viewer` для просмотра облаков точек, сохраненных в формате `pcd`.



Рисунок 7 – Входное изображение и карта глубины

Просмотр файла формата «`pcd`» представлен на рисунке 9 и 10

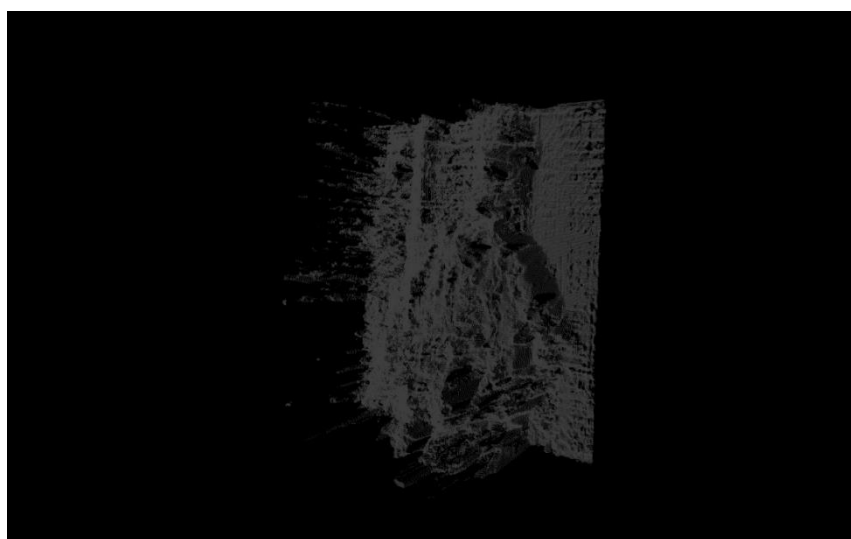


Рисунок 8 – Вид сбоку

Можем заметить, что отчетлива видна фигура человека, однако облако фона не соответствует реальным данным. Проводим настройку параметров в соответствии с полученными результатами.

Тест после настройки параметров можно увидеть на рисунках 11,12.13.

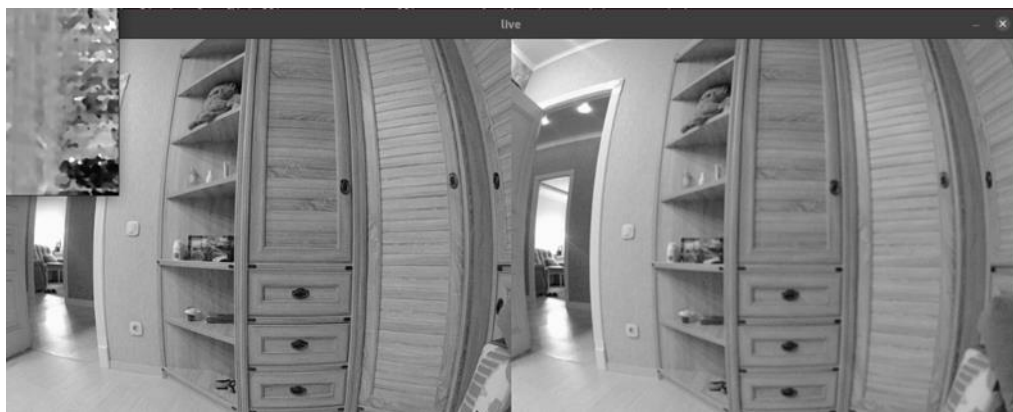


Рисунок 9 – входное изображение



Рисунок 10 – Карта смещений

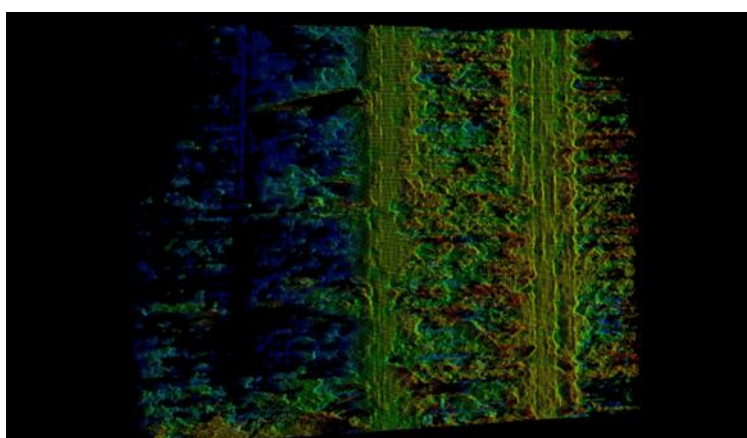


Рисунок 11 – Облако точек

Подобрав параметры, мы добились необходимой нам геометрической точности.

Просмотр полученного облака точек, адаптированного под ROS

Связав программу с узлом ROS передаем облако точек в ROS, которое мы можем увидеть с помощью утилиты rviz. На основе полученных результатов можно сказать, что алгоритм восстановления координат по карте смещений работает правильно, однако его точность во многом зависит от камер и карты смещений, что мы можем наблюдать на рисунке 12.



Рисунок 12 – Исходное фото

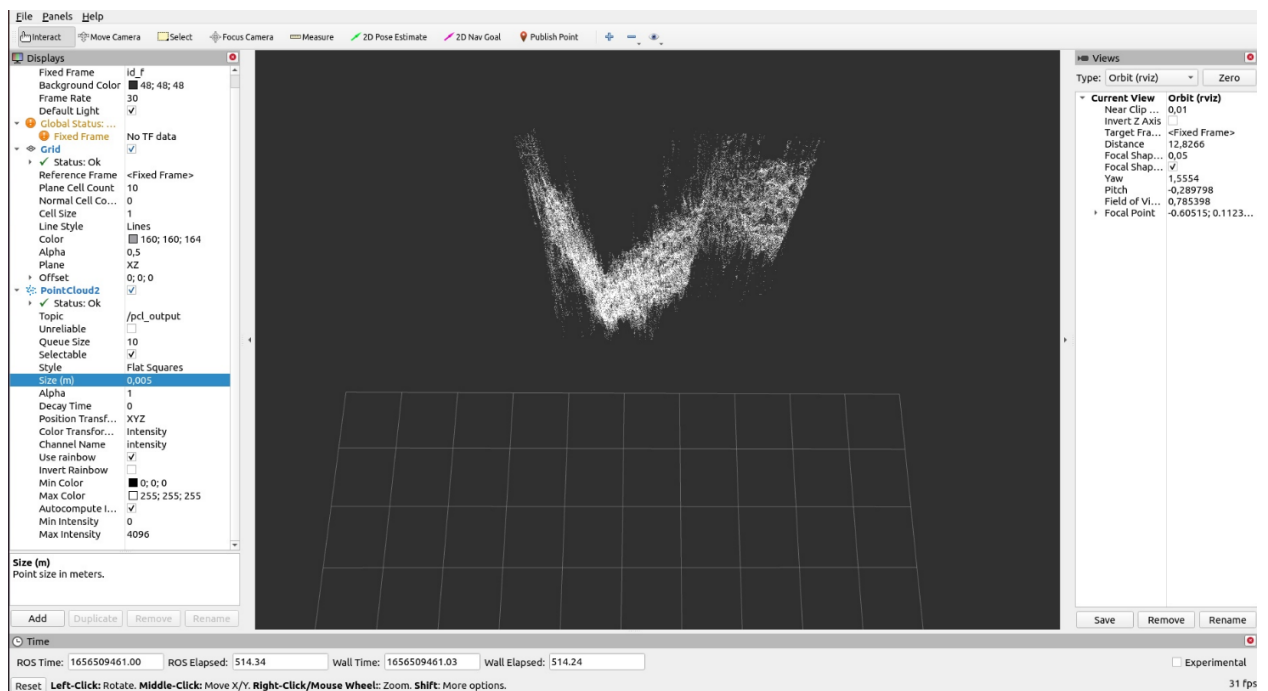


Рисунок 13 – Облако точек в программе rviz

ЗАКЛЮЧЕНИЕ

В ходе проведения НИРС были рассмотрены методы, позволяющие по существующей карте смещений восстановить объект в виде облака точек. На их основе был составлен и реализован алгоритм на языке C++. Реализация была выполнена с использованием библиотек OpenCV, PCL и ROS. На основе полученных результатов сделана оценка работоспособности математической модели. Данную программу можно использовать как драйвер для подключения стереопары к ROS, что позволяет пользоваться камерой как полноценным зрительным источником 3-х мерной информации в дополнение к 2-х мерным изображениям для робота, дрона и в других областях.

СПИСОК ИСПОЛЬЗОВАННЫХ ИСТОЧНИКОВ

1. Документация OpenCV: сайт. URL: https://docs.opencv.org/master/d9/d0c/group_calib3d.html (дата обращения: 01.06.2021). – Текст: электронный.
2. From depth map to point: сайт. URL: [cloudhttps://medium.com/yoday-oda/from-depth-map-to-point-cloud-7473721d3f](https://medium.com/yoday-oda/from-depth-map-to-point-cloud-7473721d3f)
3. сайт. URL: https://runebook.dev/ru/docs/point_cloud_library/structpcl_1_1_intensity#details
4. Wiki-ROS: сайт. URL: <http://wiki.ros.org/pcl>
5. Сайт. URL: <https://russianblogs.com/article/82651189731/>
6. Сайт. URL: <https://russianblogs.com/article/97841343343/>
7. От PCL к ROS: сайт. URL: http://wiki.ros.org/pcl_ros#ROS_C.2B-.2B-_interface
8. Стереозрение-Хабр: сайт. URL: <https://habr.com/ru/post/130300/>

ТЕКСТ ПРОГРАММЫ

```

include <ros/ros.h>
#include <opencv2/opencv.hpp>
#include <opencv2/calib3d/calib3d.hpp>
#include <opencv2/highgui/highgui.hpp>
#include <opencv2/imgproc/imgproc.hpp>
#include <stdio.h>
#include <iostream>
#include "opencv2/imgcodecs.hpp"
#include <opencv2/core/core_c.h>
#include <cmath>
#include <pcl/io/pcd_io.h>
#include <pcl/point_types.h>

#include <sensor_msgs/PointCloud2.h>
#include <pcl_conversions/pcl_conversions.h>
typedef pcl::PointXYZ PointT;
typedef pcl::PointCloud<PointT> PointCloud;
using namespace cv;
using namespace std;
Mat q;
int deviceID = 2;
int apiID = CAP_ANY;
const double camera_factor = 1000;
const double camera_cx = 256;
const double camera_cy = 212;
const double camera_fx = 1000;
const double camera_fy = 1000;

//PSP°P+PSC,PeP° CíPSP+C,C,PëC PSP°P°P°C,PëC PjC+CëPë
(PIC+C+PëCíP»PµPSPëPµ CëP°CíCíC,PsCµPSPëCµ)
void mouseEvent(int evt, int x, int y, int flags, void* param) {
    Mat* rgb = (Mat*)param;
    double rat = ((int)(*rgb).at<uchar>(y, x)), a = 0.879;
    rat = rat / 255;

    double f = q.at<double>(2, 3);
    double T = -1 / q.at<double>(1, 3);
    double k = (1 - pow(1 - rat, 4));

    if (evt == EVENT_LBUTTONDOWN) {
        cout << a * 100 * k * f * T / (int)(*rgb).at<uchar>(y, x) << " m"
<< endl;
    }
}

//PiPsP»CíC+PµPSPëPµ PsC+PµCëPµPrPSPsPiPs PeP°PrCëP°,
CíCíC,P°PSPsPIP»PµPSPSPsPiPs CëP°P·CëPµCëPµPSPëCµ
Mat another(){
    Mat foto, gray;
    VideoCapture cap;
    cap.open(deviceID, apiID);

    cap.set(CAP_PROP_AUTOFOCUS, 0);
    cap.set(cv::CAP_PROP_FRAME_HEIGHT, 1000);
    cap.set(cv::CAP_PROP_FRAME_WIDTH, 1000);

    if (!cap.isOpened()) {
        cerr << "ERROR! Unable to open camera\n";
        exit(-1);
    }
}

```

```

    }
    cap.read(foto);
    cvtColor(foto, gray, cv::COLOR_BGR2GRAY);
    return gray;
}

sensor_msgs::PointCloud2 object_msg;
int main(int argc, char *argv[])
{
    ros::init (argc, argv, "stereo_driver");
    ros::NodeHandle nh;
    ros::Publisher pcl_pub = nh.advertise<sensor_msgs::PointCloud2>
("pcl_output", 1);
    sensor_msgs::PointCloud2 output;
    PointCloud::Ptr cloud(new PointCloud);
    if (argc >= 2) { // PiCtBPsPIPuCtBtPuPj PePsP»PëC+PuCfC,PIPs
P°CtBPiCfPjPuPSC,PsPI
        deviceID = atoi(argv[1]);
    }
    //PsP+CbCtPIP»PuPSPëPu Pë PëPSPëC+PëP°P»PëP·PëCtBPsPIP°PSPëPu
PiP°CtBP°PjPuC,CtBPsPI CfC,PuCtBPuPsPiP°CtB<
    Mat cameraMatrix[2], distCoeffs[2], R1, R2, P1, P2, Q;
    Size img_size;
    FileStorage fsp("parameters.yml", FileStorage::READ);
    fsp["cameraMatrixL"] >> cameraMatrix[0];
    fsp["distCoeffsL"] >> distCoeffs[0];
    fsp["RL"] >> R1;
    fsp["PL"] >> P1;
    fsp["cameraMatrixR"] >> cameraMatrix[1];
    fsp["distCoeffsR"] >> distCoeffs[1];
    fsp["RR"] >> R2;
    fsp["PR"] >> P2;
    fsp["Q"] >> Q;
    fsp["size"] >> img_size;

    q = Q;

    //CfPsP·PrP°PSPëPu PeP°CtB, PiCtBPuPsP+CbP°P·PsPIP°PSPëPN
    Mat map1[2], map2[2];
    initUndistortRectifyMap(cameraMatrix[0], distCoeffs[0], R1, P1, img_size,
CV_16SC2, map1[0], map2[0]);
    initUndistortRectifyMap(cameraMatrix[1], distCoeffs[1], R2, P2, img_size,
CV_16SC2, map1[1], map2[1]);

    Mat img, Left, Right, L, R;
    Mat disparity, d;

    //CfPsP·PrP°PSPëPu PsP+CbPuPeC,P° PeP»P°CfCfP° StereoSGBM Cf
P·P°CtBP°PSPuPu PIC<C+PëCfP»PuPSPSC<PjPë PiP°CtBP°PjPuC,CtBP°PjPë
    Ptr<cv::StereoSGBM> st = cv::StereoSGBM::create(1, 48, 3, 50, 1156, 55,
0, 1, 1, 59, cv::StereoSGBM::MODE_SGBM);

    //PSPuPsP+Cb...PsPrPëPjPs PrP»Ct PsP+CbP°P+PsC,PePë CfPsP+CbC,PëPN Cf
PjC<CëPë
    //namedWindow("disparity");
    //setMouseCallback("disparity", mouseEvent, &disparity);

    //PiPsP»CfC+PuPSPëPu PeP°CtB,C< CfPjPuC%PuPSPëPN PI CtBPuP¶PëPjPu
CtBPuP°P»CbPSPSPiPs PICtBPuPjPuPSPë Cf PIPsP·PjPsP¶PSPsCfC,CbCt
CtBP°CfCfC+PuC,P° CtBP°CfCfC,PsCtPSPëCt PrPs PsP+CbPuPeC,P° PiCtBPë
PSP°P¶P°C,PëPë PSP° PSPuPiPs PjC<CëCbCt

```

```

while (ros::ok())
{
    img = another();
    Mat l(img, cv::Rect(0, 0, img.cols / 2, img.rows));
    Mat r(img, cv::Rect(img.cols / 2, 0, img.cols / 2, img.rows));
    l.copyTo(Left);
    r.copyTo(Right);
    remap(Left, L, map1[0], map2[0], INTER_LINEAR, BORDER_CONSTANT,
cv::Scalar(0, 0, 0));
    remap(Right, R, map1[1], map2[1], INTER_LINEAR, BORDER_CONSTANT,
cv::Scalar(0, 0, 0));
    medianBlur(L, L, 5);
    medianBlur(R, R, 5);
    st->compute(L, R, d);
    d.convertTo(disparity, CV_8U, 255 / (20 * 20.));
    medianBlur(disparity, disparity, 5);
    imshow("disparity", disparity);
    imshow("live", img);

    // PíCtBpPpSPtCtP°P·PsPIP°PSPëPp PjP°C,CtBpëCtC< PI PsP±P»P°PePs
    /*for (int m = 0; m < d.rows; m++)
        for (int n = 0; n < d.cols; n++)
        {
            //cout <<
            // PµPSP»CfC+P°PµPj P·PSP°C+PµPSPëPµ PI C,PsC±PePµ (m,
n) PSP° PeP°CtB,C,Pµ PiP»CfP±PëPSC<
            ushort d_pcl = d.ptr<ushort>(m)[n];
            // d PjPSP¶PµC, PSPµ PëPjPµC,Cß P·PSP°C+PµPSPëC¶,
PµCfP»Pë PrP°, PíCtBPsPíCfCfC,PëC,Pµ CkC,PsC, PíCfPSPeC,
            if (d_pcl == 0)
                continue;
            // P·CfP»Pë d PëPjPµPµC, P·PSP°C+PµPSPëPµ,
PrPsP±P°PIP»C¶PµPj C,PsC±PeCf PI PsP±P»P°PePs C,PsC±PµPe

            // P'C<C+PëCfP»PëC,Cß PíCtBPsCfC,CtB°PSCfC,PIPµPSPSC< Pµ
PePsPsCtBPrPëPSP°C,C< CkC,PsPµ C,PsC±PePë
            //cout<< double(d_pcl) << endl;

        }*/
    for (int m = 0; m < d.rows; m++)
        for (int n = 0; n < d.cols; n++)
        {
            //cout <<
            // PµPSP»CfC+P°PµPj P·PSP°C+PµPSPëPµ PI C,PsC±PePµ (m,
n) PSP° PeP°CtB,C,Pµ PiP»CfP±PëPSC<
            ushort d_pcl = d.ptr<ushort>(m)[n];
            // d PjPSP¶PµC, PSPµ PëPjPµC,Cß P·PSP°C+PµPSPëC¶,
PµCfP»Pë PrP°, PíCtBPsPíCfCfC,PëC,Pµ CkC,PsC, PíCfPSPeC,
            if (d_pcl == 0)
                continue;
            // P·CfP»Pë d PëPjPµPµC, P·PSP°C+PµPSPëPµ,
PrPsP±P°PIP»C¶PµPj C,PsC±PeCf PI PsP±P»P°PePs C,PsC±PµPe
            PointT p;
            //if(m!=0 && n !=0 && m!=d.rows && n != d.cols)
                //d_pcl = (d.ptr<ushort>(m-1)[n] +
d.ptr<ushort>(m+1)[n] + d.ptr<ushort>(m)[n-1] + d.ptr<ushort>(m)[n+1])/4;
            // P'C<C+PëCfP»PëC,Cß PíCtBPsCfC,CtB°PSCfC,PIPµPSPSC< Pµ
PePsPsCtBPrPëPSP°C,C< CkC,PsPµ C,PsC±PePë
            //cout<< double(d_pcl) << endl;
            if(d_pcl > 80 and d_pcl < 350){
                p.z = (10-10*double(d_pcl) / (camera_factor));
            }
        }
    }
}

```

```

        p.x = -(n - camera_cx) * p.z / camera_fx;
        p.y = -(m - camera_cy) * p.z / camera_fy;
        // PµPSP»CfC+P°PµPj PµPiPs C+PIPµC, PëP·
PëP·PsP±CßP°P¶PµPSPëC¶ rgb
        // rgb - C´C,Ps C,CßPµC...PeP°PSP°P»CßPSPsPµ
PëP·PsP±CßP°P¶PµPSPëPµ PI C,,PsCßPjP°C,Pµ BGR, PiPsC´C,PsPjC´
PiPsP»CfC+P°PµC,Pµ C+PIPµC,P° PI C¶P»PµPrCfCßC%PµPj PiPsCßC¶PrPePµ
        //p.b = 999999;
        //p.g = 999999;
        //p.r = 999999;

        // PrPsP±P°PIP»C¶PµPj p PI PsP±P»P°PePs C,PsC+PµPe
cloud->points.push_back(p);}

}/**/

//P·P°PIPµCßC¶PµPSPëPµ PiCßPë PSP°P¶P°C,PëPë Esc
// if (cv::waitKey(1) == 27) break;
//sensor_msgs::PointCloud2 output;
//output = cloud;

// PñC+PëC´C,PëC,Cß PrP°PSPSC<Pµ Pë PIC<PµC,Pë
cloud->height = 1;
cloud->width = cloud->points.size();
cout << "point cloud size = " << cloud->points.size() << endl;
cloud->is_dense = false;
pcl::io::savePCDFile("222.pcd", *cloud);

cout << "Point cloud saved." << endl;
//cloud.reset(new pcl::PointCloud);
pcl::toROSMsg(*cloud.get(),output );
output.header.frame_id = "id_f";
ros::Rate loop_rate(1);
pcl_pub.publish(output);
ros::spinOnce();
loop_rate.sleep();
//ros::Subscriber sub = nh.subscribe ("input", 1,cloud_cb);
//pub = nh.advertise<sensor_msgs::PointCloud2> ("output", 1);

cloud->points.clear();

// Spin
//ros::spin ();
}

return 0;
}

```